

## 感潮河川水理模型における成層流と界面波の水理特性

## Experimental Studies on Stratified Flow and Interfacial Wave in Tidal River Model

愛媛大学農学部 正員 °大橋 行三 Gyōzō ŌHASHI  
 愛媛大学大学院 三宮 知彦 Tomohiko SANNOMIYA  
 愛媛大学農学部 戒能 治 Osamu KAINOU

The physical processes of unsteady flow in tidal river estuary are studied experimentally. These flows may be treated as two-layer flows without mixing at or through the interface. Treating these flows as such requires to provide the interfacial shear known. Then, finding interfacial shear coefficient, this experiment by hydraulic model shows that the profiles composed of four typical patterns are P, A, Z and B and are likely to vary with tide stage of their stratification. Further, the data obtained on the interfacial shear are compared to the results by the former researchers in Fig.10. Patterns of P & Z are shown to be good agreement with the former's results, but A & B are not compatible with this approximation. Flowing states depended on the river run-off are evaluated and shown to be the same results.

*Keywords:* tidal river, salt intrusion, interfacial friction, hydraulic model

## 1. 緒言

感潮河川の密度流は、一周期間の流動過程に多様な成層形態が経時的・場所的に遷移し、その連続的な運動機構の把握が必要である。特に潮汐振幅と河川平均水深との比が 0.3 以上となる流れ場の解析には、大別して、

- (i) 淡水量と潮汐諸元等の外力要素の寄与、
  - (ii) 流路属性による損失や局所流況の変化、
  - (iii) 界面碎波や乱れに依る混合拡散特性、
- 等の検討が含まれる。

本研究の目的は、上記 (i), (ii) の実験的な究明であり、実用的には、「塩水くさび」の非定常挙動をより精緻に解析し、水資源や水辺環境の設計・整備に貢献することである。

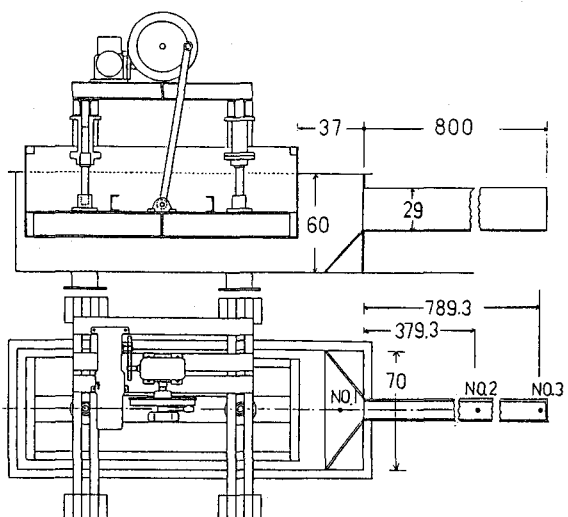


Fig. 1 Diagram of Experimental Set-up

## 2. 実験装置と手法

河川表流水が定常的に流下する感潮河川を想定し、周期変動に応答する塩水くさびの発生が可能な装置として、Fig. 1 に示す模型装置を作製した。海部に相当する水槽は 69.8×201.5cm、深さ 60cm、河川流路部にアクリル水路の幅 10cm、深さ 29cm、長さ 800cm(2~8m: 水平底 0~2m : 1/100) を接続した。潮汐の発生は、水槽部に底面 60×160cm の Box(鉄製) を上から押込むプランジャ装置を用い、変速モータとクランクホイールの調整によって、Fig. 2 の如く、周期が 280~830sec、表面波振幅が 0.5~4.0cm の範囲で駆動できる。

計測は、河口、中流、上流の表面波を 3 基の容量式波高計(CH-3) 3 基、二層流内部波高計(LC-101) 2 台、導電率計(MK-206) 3 基、サーマル式微流速計(VS-101) 1 台(いずれも計測技研製)を随所に用い、又、上流部 3~4m は約 50cm 区間に毎に VTR 撮影し、後刻読み取った。淡水は水道水を用い、上流端の給水と河口表面

の排水はフロート式装置を考慮し、5~45cc/sの水量が調節できる。塩水は原液を30%とし、食紅で着色した。

淡水のみによる基本造波特性は、Fig. 2に示す範囲で共に正強波と見做せる良好な性状であり、水路内伝播の位相遅れも無視できる程度であった。ただし、Ebb 初期に峰部分がわずかに偏平となる機械固有誤差が認められた。

淡塩2層の形成には、計測機器の calibration手順を考慮して、最初に淡水の給排水の無い成層状態を作り、3~4周期間波動させるのを「Stagnant状態」(S)と呼び、それに継続した給排水の開始後 3~4 周期間の波動を「Flowing状態」(F)とした。両者共に 3,4 周期目の挙動は定常波動と見做せる状態であった。

今回の実験は、周期が 326s、淡水深 ( $h_1$ ) 2~3cm、塩水深 ( $h_2$ ) 約 8cm、給排水量 ( $Q_s$ ) 20~40cc/s の範囲とし、模型の相似は、縦横歪比 20程度を想定した。初期条件は、高潮位の静止から(S)を開始し、その後、所定周期の Flood 時の平均潮位から給・排水を同時に与えて、最初から 7~8周期目(F)とした。

### 3. 界面波の造波特性

Fig. 3 に、淡水表面波 ( $\eta_1$ )、河口界面波 ( $\eta_{21}$ )、中、上流地点の界面波 ( $\eta_{22}, \eta_{23}$ ) との波形を例示する。なお、表層淡水が形成する表面波（振幅  $a_1$ 、周期  $T_1$ ）は、水路全域でほぼ同一波形、位相遅れ極く微小の条件を満たしている。

界面波 ( $a_2, T_2$ ) は、周期は  $T_1$  と同一であるが、位相が表面波より 1/16 周期程度早く励起され、振幅は Fig. 4 の  $a_1/a_2=0.45h_1$  で増幅された。なお、経時波形は、Ebb 時に水路疎通能に影響されて塩水流出が制御されるため、波形谷部が偏平となり、上弦  $1/2$  周期長 ( $T_u$ ) が下弦 ( $T_w$ ) より若干小さい L型と逆の R型 ( $T_u > T_w$ ) とに大別される。

平均界面は、波形の峰と谷から求めた値と一周期内 24 個の値による調和分解の値とほぼ同一であった。

界面波の水路内への伝播特性は、Fig. 3 の如く、振幅が減衰すると共に、上流端からの反射を受けて短い周期の分調波が重複し、位相のズレが増している。各波形を 24 個の値で与えて調和分解した結果から、型別に各地点の波形成分を比較すれば Table 1. となる。表中の比 ( $H_i$ ) は、河口界面波の総成分に対する各地点の相当成分の比である。なお、2L, 2R は  $h_1=2\text{cm}$  の意である。

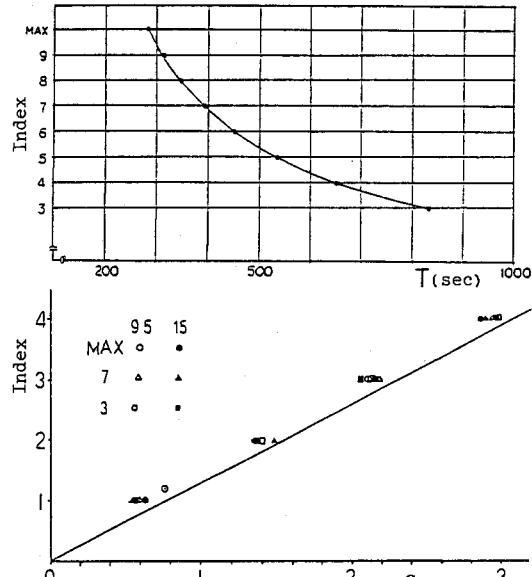


Fig. 2 Amplitude and Period of Regulated Surface Wave in Singl Layer

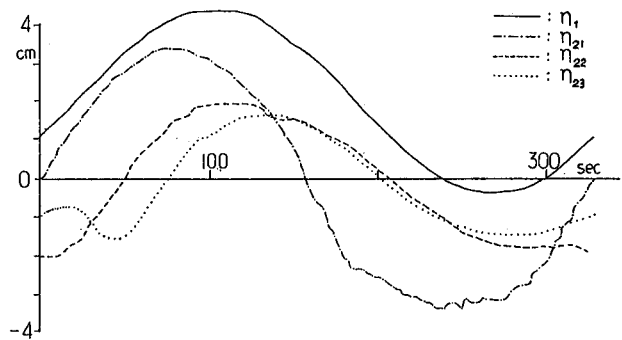


Fig. 3 Example of Profils for  $\eta_1, \eta_{21}, \eta_{22}, \eta_{23}$

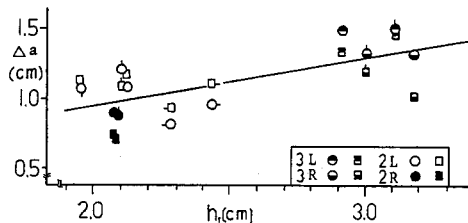


Fig. 4 Amplification Ratio  $a_1$  to  $h_1$  in Model

分解の結果から、静止淡水深が大きい影響は、短い周期の分潮成分の増加と位相のズレに現れ、 $3L_R$  の方が  $2L_R$  より顕著である。又、河川中央より上流の方がこの傾向が強い。(実験No.1～No.11)<sup>3)</sup>

Table 1. Comparison with Constituent in Amplitudes Analized

%	$x = 8.10 \text{ m}$					$x = 3.845 \text{ m}$					$x = 0.25 \text{ m}$						
	$A_1$	$A_2$	$A_3$	$A_4$	$\text{On}$	$H_i$	$A_1$	$A_2$	$A_3$	$A_4$	$\text{On}$	$H_i$	$A_1$	$A_2$	$A_3$	$A_4$	$\text{On}$
2L	85	4.1	4.4	1.2	5.3	69	74	11	7.2	3.3	4.5	63	55	20	9.3	3.2	13
2R	84	6.2	2.6	2.0	5.2	67	69	13	7.9	2.8	7.3	59	62	18	7.4	4.5	8.1
3L	84	6.0	3.3	2.7	4.0	53	66	15	1.0	6.0	67	46	27	13	7.7	6.3	
3R	85	4.7	1.1	2.2	7.0	59	57	21	12	3.2	6.8	71	33	26	16	8.6	17

#### 4. 密度界面の遷移形状

海水の遡上過程に相当する密度界面波形の遷移性状を知るため、Fig. 3の結果を1/16周期毎に分割し、各界面変化を模式的に表示すれば、Fig. 5を得る。なお、右端の水平な線は、表面波の位高であり、上げ潮平均潮位を①とした。この図から、S状態の定常波動の特徴として、③～⑤のtilting変動や④～⑥の一一種のbeat現象が見られる。しかし、塩水塊のbore状遷移は、この図では判別できない。

次に、VTR画像から得た波形を、同様な1/16周期毎に内挿した結果の一部をFig. 6に示す。なお、図中の□印はS状態、○印はF状態と併示した。

この図から、上流1/4部分の界面は、可成り停滞した後に、弱いbore状の遡上をもたらすことがわかる。ただし、2m附近で海面が凸状となる原因の一つとして、部分的な混合によるcloudが発生し、画像識別が不明確となる点を考慮する必要がある。

一方、F状態における同刻の分布形状は、明らかに淡水下の影響を受けて全域の界面が低下すると共に、下流へ押流された状況となる。なお、最上流端には淡水受けのフロートがあり、そのリップに沿った巻き上げが発生する点と、フロート附近の現象が、実際の河川流況とは著しく相違するのは避けられない。

#### 5. 平均流速の経時変化

いま、河口へ向かう流れを「正」と定め、 $x$ 座標の原点を最上流端にとる。

上・下層内の鉛直流速分布が測定できれば理想的であるが、今回の模型では、一地点に微流速計を設えて、両層の中央位置の流速を経時的に測定した。その一例をFig. 7に示す。

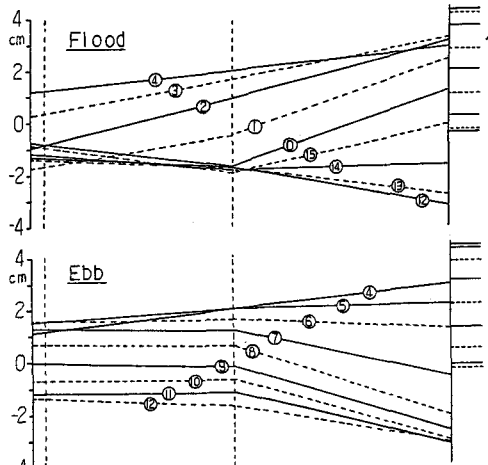


Fig. 5 Time Series profiles of Interface at  $T/16$

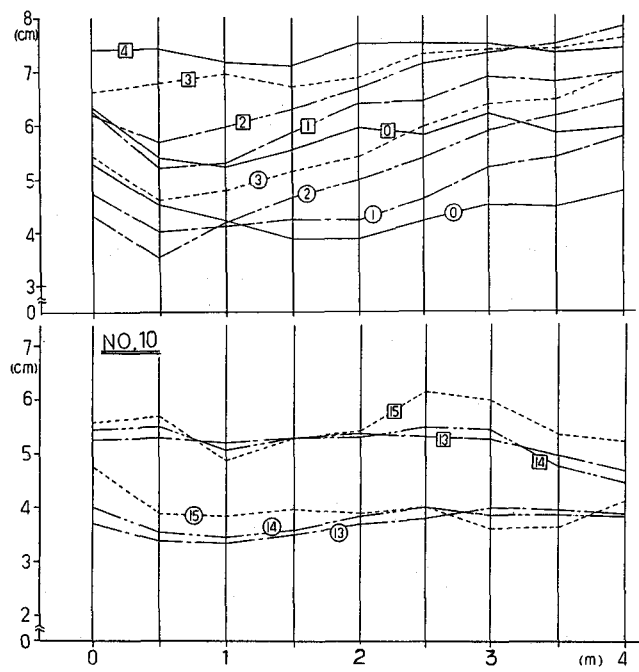


Fig. 6 Time Series Profiels of Interface measured by VTR

一方、肱川の感潮域の観測で得た鉛直流速分布の30分毎の例をFig. 8に示す。(海水混合%も併示)

実験F状態の上下層流速の変化との対応を見れば遡上と流下の遷移過程の大まかな類似性が認められる。ただし、観測値の界面位置が不明確である。

## 6. 2成層流の流速分布パターン

潮汐一周期間に見られる2成層流過程を特徴的に捉えるとすれば、上下層の流向正負(P or M)と平均流速の強弱との組み合わせとして、Fig. 9に示す8種類のパターンに区分できる。更に典型的な下記の4種類に集約され、各条件が定義できる。

- $$(1) \begin{cases} P : |u_1| >> |u_2|, u_2 = 0 \\ A : |u_1| << |u_2|, u_1 = 0 \\ Z : u_1 * u_2 < 0, u_1, u_2 ; \text{Not Small} \\ B : u_1 * u_2 > 0, u_1, u_2 ; \text{Not Small} \end{cases}$$

又、具体的な代表現象との対応は、P : Arrested salt/Bottom/wedge, A : Arrested thermal/surface/wedge, Z : Lock Exchange Flow, B : Stream Flowを想定した。ただし、定常状態の研究が多い。

ここでは、実験で得た諸水理量の計量に基づいて2成層遷移過程を上記4種類のパターンの経時的配列として捉える評価方法を用いる。

## 7. 理論的考察

上、下層の水理諸量を添字1,2で表示し、両層の連続の式と運動方程式を次式とする。

$$(2) \frac{\partial h_1}{\partial t} + \frac{\partial}{\partial x}(u_1 \cdot h_1) = 0$$

$$(3) \frac{\partial h_2}{\partial t} + \frac{\partial}{\partial x}(u_2 \cdot h_2) = 0$$

$$(4) \frac{\partial u_1}{\partial t} + g \frac{\partial h}{\partial x} + u_1 \frac{\partial u_1}{\partial x} = \frac{\tau_i}{\rho h_1} - \frac{2\tau_{w1}}{\rho B}$$

$$(5) \frac{\partial u_2}{\partial t} + g \frac{\partial h}{\partial x} + u_2 \frac{\partial u_2}{\partial x} + \frac{\Delta \rho}{\rho} g \frac{\partial h_2}{\partial x} = \frac{-1}{\rho_2} \left( \frac{\tau_i}{h_2^2} + \frac{2\tau_{w2}}{B} + \frac{\tau_b}{h_2^2} \right)$$

$$(6) \tau_{w1} = \lambda_{w1} \cdot \rho_1 u_1 |u_1| / 8$$

$$(7) \tau_{w2} = \lambda_{w2} \cdot \rho_2 u_2 |u_2| / 8$$

$$(8) \tau_b = \lambda_b \cdot \rho_2 u_2 |u_2| / 8$$

$$(9) \tau_i = \lambda_i \cdot \rho_2 (u_1 - u_2) |u_1 - u_2| / 8$$

ここに、 $h = h_1 + h_2$ ,  $\Delta \rho = \rho_2 - \rho_1$

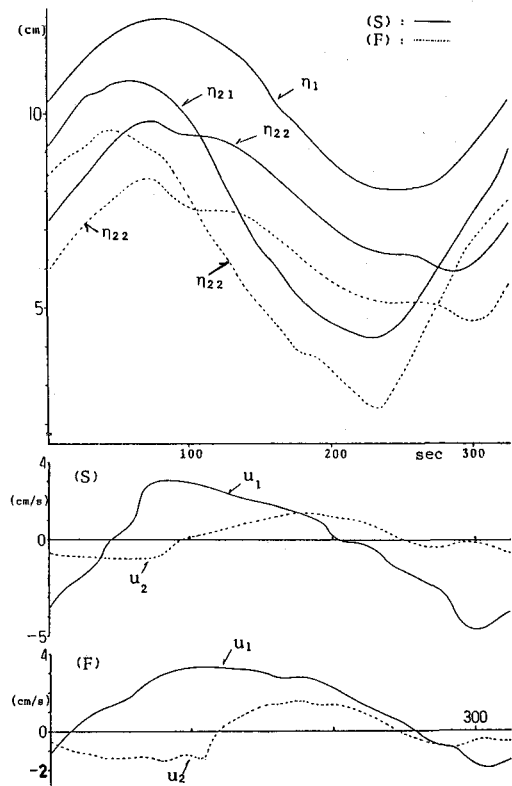


Fig. 7 Examples of Waves & Mean Velocity (No.14)

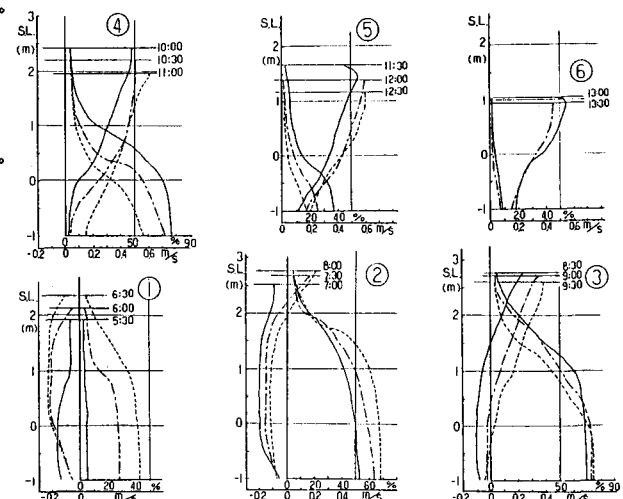


Fig. 8 Velocity Profils Observed at Hiji (1984.8.11, Qs=10t)

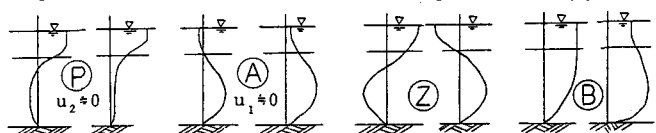


Fig. 9 Definition Sketch for 4-kinds of Velocity Profils

$\tau_{w1}, \tau_{w2}, \tau_b, \tau_i$ : 上, 下層側壁, 底面及び密度界面の剪断応力, 同様に,  $\lambda$ : 摩擦抵抗係数,  $B$ : 水路幅

$$(10) \quad Re_1 = \frac{h_1 u_1}{v_1}, \quad Re_2 = \frac{h_2 u_2}{v_2}, \quad Re_R = \frac{R_2 u_2}{v_2}, \quad R_2 = \frac{B h_2}{2(B+h_2)}, \quad Re_{ws} = \frac{|u_1 - u_2| h}{2 v_2} \quad Re: \text{Reynolds 数}$$

$$(11) \quad Fd = \frac{|u_1 - u_2|}{\sqrt{\epsilon g h}}, \quad Ri_A = \frac{\epsilon g h}{(u_1 - u_2)^2}, \quad Ri_g = \frac{\Delta \rho g h}{2 \rho_2 (u_1 - u_2)^2}, \quad Ku = \frac{\epsilon g v_2}{(u_1 - u_2)^3} \quad Ri: \text{Richardson 数}$$

実験から  $u_1, u_2, h_1, h_2$  を得れば, (2), (3)式から  $\partial u_1 / \partial x, \partial u_2 / \partial x$  が求まる。一方, (10)式の各層ごとの Reynolds 数に対して,  $\lambda_{w1}, \lambda_{w2}, \lambda_b$  が決定できれば, 各剪断応力は計算できる。いま, G. Abrahamら<sup>1)</sup>の研究を参照して, Nikuradse の剪断応力係数から  $\lambda$  の値を算定する。又, (4), (5)式の差から  $\tau_i$  の値が求まる。結局,  $\lambda_i$  の値は, 形式的には求まるが, 流れパターンの識別と吟味が必要である。(レ: 動粘性係数)

### 8. 離散処理と結果の表示

流速の測点の左右で界面波を測定し, それらから同点の  $h_1, h_2$  を内挿した。又, 時間単位は, 周期の  $1/24$  であり, 各諸元等は, 次頁の Table. 2 に示した。

前項 6. の流速分布パターンの識別結果を含む諸計算結果例を同じく Table 3 に示した。

「KATA2」の各桁の内容は, 第 1, 4 桁が上層の流向と層・乱流 ( $Re_c=500$ ), 第 2, 5 桁が同下層, 第 3 桁の“1”は  $u_1 > u_2$ , 第 6 桁がパターン, 第 7 桁が上層の層・乱流の再判定である。又, 上下層共に静止状態 (Q型) の判定は,  $u_1 < 0.15 \text{ cm/s}$ ,  $Re_1 < 160$  である。

各結果の流況のうち, Z型と P 型は,  $\lambda_i$  が適正な範囲にあり, 他の研究者の結果と対比して, 右の Fig. 10 に示す。

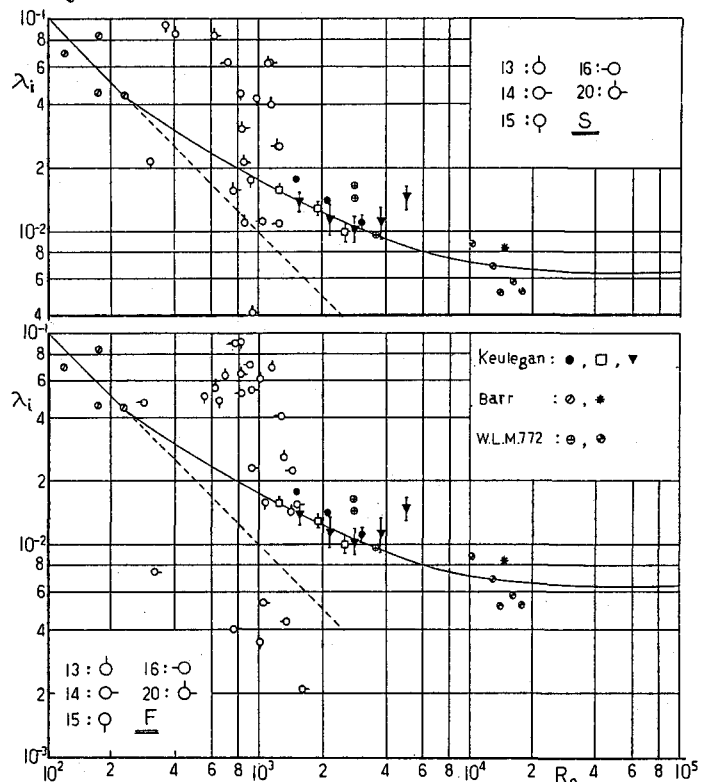


Fig. 10 Relationship between  $\lambda_i$  and  $Re$  by Experiment & Other's

### 9. 結 論

(1) 本実験の極めて大まかな水理特性は, 吉田ら<sup>2)</sup>の文献から類別できるが, 週上と流下の周期応答特性と一連の遷移過程の詳細な把握のためには, 再現性の容易さを備えた本模型の有用性が評価できる。

(2) 潮汐一周期間の遷移過程の内, 流速分布パターンの Z型と P型の運動機構は, 本研究の界面摩擦抵抗係数の評価から, Fig. 10 の如く, 定常状態の結果との整合性が見出された。但し, 個別の吟味を要する。

(3) 淡水流下の F 状態は, S の遷移性状を下流へ平行移動したものと見做せるが, 平均塩水位の低下と共に分潮振幅の減衰をもたらし, Flood 期間が短縮される。又, Q<sub>w</sub> の減少が S 状態への漸近となる。

(4) Stagnant 状態の諸特性は, Flowing 状態との対比資料となるのみでなく, 河口セキ下流域や床止段落工下流部の感潮域の現象説明に役立ち, 更に, F 状態は浅瀬を越える河川密度流の解析に適用できる。

(5) 本実験の周期が 1 種類であるため周波数領域面の検討と A, B 型の流速分布の考慮が今後必要である。

本研究は、文部省科研総合

(A) (62302056)と(01302057)

の成果の一部であり、計算には愛媛大、京大型を用いた。

### 10. 参考文献等

1) G. Abraham et : J. of Hy. Res. Vol. 9 (1971), p. 125-151

& Vol. 17 ('79), p. 273-287

2) 吉田ら : 海工講論, No. 22

(1975), p. 167~171

3) 大橋・三宮ら : 農業土木学会, 1989年講, '88, '89 中四

支講 (口頭発表)

Table 2. Summary of Experimental Data and Analyzed Results

番号/測定期	13/3	/8	14/3	/8	15/3	/8	16/3	/8	17/3	/8	18/3	/8	19/3	/8	20/3	/8
初水位/型	H/2L	H/2L	H/2L	H/2L	H/2L	H/2L	H/2L	H/2L	H/2R	H/2R	H/2R	H/2R	H/2L	H/2L	H/2L	H/2L
水深(cm)	2.31	2.31	2.55	2.55	1.95	1.95	2.00	2.00	2.38	2.38	2.33	2.33	2.33	2.33	2.33	1.97
淡 平位(調)	9.48	9.80	10.25	10.10	9.16	9.13	9.41	9.34	9.91	9.69	10.17	10.28	10.29	10.35	9.96	10.13
分潮A:	2.32	2.20	2.30	2.26	2.32	2.25	2.25	2.30	2.32	2.29	2.36	2.35	2.35	2.34	2.32	2.28
測周期始	900	2531	896	2534	899	2529	900	2530	902	2531	903	2537	903	2537	903	2531
水 測終(sec)	1226	2857	1222	2860	1225	2855	1226	2855	1228	2857	1229	2863	1229	2863	1229	2857
測周期	326	326	326	326	326	326	326	326	326	326	326	326	326	326	326	326
西平相アレ	-1.0	0	0	0	-1.0	0	0	-0.5	-0.5	-1.5	-0.5	-1.0	-0.5	-1.0	-0.5	-1.0
水量/測周期	—	40/5	—	40/5	—	30/5	—	20/5	—	40/5	—	30/5	—	20/5	—	40/5
平位(調)	—	—	7.52	6.17	7.44	6.12	7.30	6.75	7.50	5.66	7.58	6.58	7.35	6.88	7.61	6.46
分潮A:	—	—	3.34	3.34	3.22	3.81	3.53	3.98	3.75	3.84	3.38	3.76	3.46	3.60	3.15	3.41
測周期始	—	—	870	2489	875	2499	882	2507	874	2493	874	2503	882	2508	885	2508
水 測終(sec)	—	—	1196	2821	1201	2833	1208	2835	1201	2826	1201	2835	1208	2837	1212	2840
表波相アレ	—	—	-26	45-39	-24	30-22	-18	23-20	-28	38-31	-29	34-28	-21	29-26	-18	23-17
西平相アレ	—	—	0	-2.0	0.5	1.0	1.0	1.0	1.0	-1.5	0	1.5	3.0	-1.0	1.0	2.0
内波計点	中央	中央	中央	中央	中央	中央	中央	中央	中央	中央	中央	中央	中央	中央	中央	中央
平位(調)	7.40	6.12	7.86	6.42	7.42	5.91	7.38	6.73	7.72	6.09	7.79	6.72	7.79	7.05	7.94	6.34
分潮A:	2.07	1.72	1.84	1.62	2.10	1.73	1.82	1.71	1.83	1.55	1.91	1.78	1.89	1.79	1.99	1.72
測周期始	906	2553	910	2546	902	2548	913	2544	909	2547	906	2550	907	2551	906	2551
水 測終(sec)	1232	2884	1235	2877	1228	2880	1240	2873	1235	2881	1234	2881	1233	2874	1232	2880
表波相アレ	6.22	27	14	12.17	3	19.25	13	14.18	7	16.24	-3	13.18	4	7.11	3	20.23
西平相アレ	2.0	4.0	0	2.0	0	5.0	2.0	3.0	0	2.0	-2.0	-0.5	-2.0	-1.0	0	3.0

Table 3. Example of Numerical Data-Map on Experimental Data and Processed Results

(No. 13~16:X(HL, U, HR)=(249, 282, 384), No. 17~20:X(384, 658, 794), unit:cm)

NO.15-S.30.0CC/S,(10M2BD) ST1= 20.5 ST2= 21.1 QF= 0 SALT= 22.3																
TM	HS	H1	H2	U1	U2	USA	KATA2	REY1	REY2	REYUS	REYB	RAMDAI	FRD	RICA	RICG	KULEG
1	9.15	2.35	6.80	-3.34	-0.96	-2.40	MM1T1B0	-793	-635	-542	-189	-0.03452	-0.20	2.12	1.04	-0.0121
2	9.75	2.37	7.38	-2.12	-1.10	-1.02	MM1T1B0	-504	-790	-246	-227	-0.69253	-0.08	12.10	5.96	-0.1574
3	10.31	2.48	7.83	-0.74	-1.19	-0.45	MM2L1TBT	-184	-906	-115	-254	0.14205	-0.03	63.92	31.49	-1.8335
4	10.78	2.50	8.28	0.01	-1.22	1.23	PM2L1TA0	3	-982	328	-269	0.37935	0.09	8.75	4.31	0.0898
5	11.16	2.55	8.61	1.16	-1.16	2.32	PM2L1T2T	297	-971	640	-261	0.14083	0.17	2.50	1.23	0.0134
6	11.37	2.61	8.76	2.24	-1.00	3.24	PP1T1T20	588	-852	910	-207	0.01673	0.24	1.29	0.64	0.0049
7	11.43	2.50	8.93	2.72	-0.76	3.48	PM1T1T20	682	-660	983	-174	-0.04275	0.26	1.13	0.55	0.0040
8	11.42	2.44	8.96	2.56	-0.34	2.90	PM1T1L20	632	-296	818	-78	-0.04524	0.21	1.62	0.80	0.0068
9	11.28	2.39	8.89	2.31	0.06	2.25	PP1T1L20	555	52	627	14	0.05052	0.17	2.67	1.32	0.0147
10	10.87	2.32	8.55	2.12	0.35	1.76	PP1L1L2L	494	299	473	81	0.11741	0.13	4.29	2.11	0.0306
11	10.38	2.15	8.23	2.02	0.68	1.34	PP1L1TBT	436	544	344	149	0.27781	0.10	7.23	3.56	0.0694
12	9.75	2.05	7.72	1.84	1.00	0.84	PP1L1TBT	375	751	202	212	0.63261	0.07	17.83	8.79	0.2817
13	9.10	1.89	7.21	1.62	1.28	0.34	PP1L1TBT	308	897	76	261	4.33604	0.03	98.76	51.81	4.2486
14	8.47	1.76	6.71	1.44	1.42	0.02	PP1L1TBT	254	927	4	277	9.87600	0.00	99.00	99.00	9.9900
15	7.90	1.66	6.24	1.20	1.45	0.25	PP2L1TBT	200	880	49	271	3.51463	0.02	98.76	89.29	9.8700
16	7.47	1.65	5.82	0.76	1.33	0.57	PP2L1TA0	126	753	105	238	-0.28417	0.05	33.90	16.70	0.9019
17	7.16	1.67	5.49	-0.04	1.12	-1.16	MP2L1L2L	-7	598	-205	193	0.14824	-0.11	8.02	3.95	-0.1070
18	6.97	1.72	5.25	-0.96	0.80	-1.76	MP1L1L2L	-166	409	-303	134	0.02153	-0.17	3.44	1.69	-0.0306
19	6.87	1.79	5.08	-1.72	0.40	-2.12	MP1L1L2L	-308	198	-360	66	0.09411	-0.20	2.35	1.16	-0.0175
20	7.02	1.89	5.13	-2.64	-0.02	-2.62	MM1T1L20	-501	-10	-454	-3	0.10573	-0.25	1.56	0.77	-0.0093
21	7.19	1.92	5.27	-3.40	-0.19	-3.21	MM1T1L20	-657	-97	-570	-32	0.04865	-0.30	1.05	0.52	-0.0051
22	7.46	2.04	5.42	-4.00	-0.47	-3.53	MM1T1L20	-821	-248	-650	-80	0.09168	-0.32	0.88	0.44	-0.0038
23	7.95	2.25	5.70	-4.76	-0.40	-4.36	MM1T1L20	-1075	-222	-856	-71	0.01585	-0.38	0.60	0.29	-0.0020
24	8.55	2.34	6.21	-4.28	-0.68	-3.60	MM1T1L20	-1004	-411	-760	-127	0.00355	-0.31	0.91	0.45	-0.0036
25	9.15	2.35	6.80	-3.32	-0.92	-2.40	MM1T1B0	-783	-608	-542	-181	0.00000	-0.20	2.12	1.04	-0.0121

NO.15-F.30.0CC/S,(10M2BD) ST1= 20.5 ST2= 21.1 QF= 30 SALT= 22.3																
TM	HS	H1	H2	U1	U2	USA	KATA2	REY1	REY2	REYUS	REYB	RAMDAI	FRD	RICA	RICG	KULEG
1	9.10	4.74	4.36	-0.58	-0.84	-0.26	MM2L1L2L	-276	-358	-58	-124	4.02448	-0.02	98.76	88.85	-9.5504
2	9.70	5.00	4.70	-0.44	-1.10	-0.66	MM2L1L2T	-221	-503	-158	-171	0.75680	-0.05	28.89	14.23	-0.5383
3	10.27	4.96	5.31	0.20	-1.35	1.55	PM1T1L20	100	-697	393	-228	0.31230	0.12	5.39	2.65	0.0450
4	10.71	5.04	5.67	1.00	-1.72	2.72	PM2T1T20	506	-948	720	-303	0.03607	0.21	1.79	0.88	0.0083
5	11.07	5.11	5.96	1.76	-1.68	3.44	PM1T1T20	903	-974	941	-305	-0.04417	0.26	1.14	0.56	0.0041
6	11.27	4.87	6.40	2.28	-1.51	3.79	PM1T1T20	1116	-939	1055	-286	0.06743	0.28	0.94	0.46	0.0031
7	11.31	4.76	6.55	3.08	-1.44	4.52	PM1T1T20	1473	-917	1263	-277	0.02404	0.33	0.66	0.33	0.0018
8	11.30	4.66	6.64	3.62	-1.16	4.78	PM1T1T20	1694	-749	1334	-225	-0.01442	0.35	0.59	0.29	0.0015
9	11.22	4.43	6.79	3.76	-0.68	4.44	PM1T1L20	1673	-449	1231	-134	-0.01343	0.33	0.69	0.34	0.0019
10	10.82	4.02	6.80	3.64	-0.01	3.65	PM1T1L20	1468	-7	976	-2	0.01782	0.27	1.00	0.49	0.0034
11	10.35	3.35	7.00	3.63	0.48	3.15	PP1T1L20	1222	327	805	96	0.07731	0.24	1.31	0.64	0.0054
12	9.70	3.10	6.60	3.40	0.84	2.56	PP1T1L20	1059	539	613	162	0.12480	0.20	1.92	0.94	0.0100
13	9.03	2.87	6.16	3.32	1.26	2.06	PP1T1L20	956	755	459	234	0.21060	0.17	2.86	1.41	0.0191
14	8.45	2.73	5.73	3.16	1.32	1.84	PP1T1L20	861	736	384	234	0.21954	0.16	3.46	1.71	0.0269
15	7.85	2.63	5.22	2.92	1.38	1.54	PP1T1L20	772	700	299	230	0.11973	0.14	4.77	2.35	0.0458
16	7.45	2.47	4.98	2.56	1.42	1.14	PP1T1L20	634	688	210	230	0.06626	0.10	8.47	4.	